

## 長大つり橋の主塔の地震応答について

関西大学工学部 正員 高岡宣善  
同 上 佐藤猶治

## 1. まえがき

長大つり橋の主塔の地震応答を研究する際に、振動系として、(a)主塔シャフトのサブに注目し、その下端は基礎地盤に固定されているものと考える(図-1,a) (b)主塔シャフト+主塔基礎工に注目し、主塔基礎工の回転および並進運動を考慮する(図-1,b) の2つの場合をとりあげ、各場合の応答を比較すると、両者の間に大きな相違が生ずる場合があるので気がつく。すなわち(b)の場合には、主塔基礎工を支える地盤の弾性常数如何によつては応答値が非常に大きくなり、このような場合

には応答スペクトル手法を用いて計算した応答の最大値は実際の最大値を实用上充分なる精度で近似していない。この報告においては、まず上記の(a)ないしは(b)の各振動系についてそれらの固有振動周期を調べ、(b)の場合においては基礎地盤の弾性常数を変化させることにより、系の固有振動数および振動型のうち、2つのものが接近したりあるいは分離したりする可能性のあることを示す。

つぎに、実在地震動の地動変位を

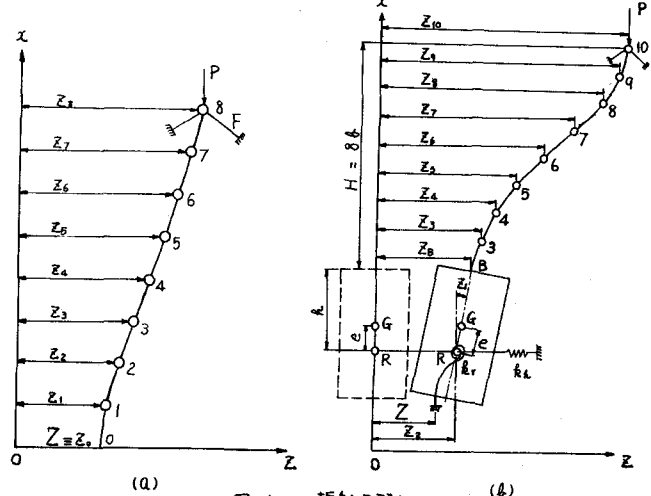


図-1 振動モデル

入力として用いた場合の応答の最大値と、地震応答スペクトル線図から計算した二乗和平方根応答を比較する。

## 2. 振動系の固有振動周期

図-1,a および b に示すように、主塔を自由度 8 ないし 10 の集中質量質点系で置換した場合の固有振動周期は表-1 のようになる。(b)の場合に、基礎地盤の弾性常数は表-2 の 3 組の値を用いた。表-1 から、(b)の場合の固有周期は(a)の場合のそれらに、第 2 次および第 7 次の固有振動周期が新たに加わった形になっており、残りの 8 つの固有周期は、(a)の場合のそれらとはほとんど一致していることがわかる。そして、第 2 次および第 7 次の振動型にあつては、いずれも主塔基礎工の回転角が大きくなっている。したがつて、上記の 2 つの振動型は主

振動次数 n	図-1,a の 振動系の T <sub>n</sub>	図-1,b の 振動系の T <sub>n</sub> はね定数の組		
		はね定数の組		
		I	II	III
1	1.286	1.248	1.294	1.385
2	—	0.6354	0.4975	1.129
3	0.4706	0.4661	0.4501	0.4685
4	0.2595	0.2597	0.2596	0.2598
5	0.1781	0.1793	0.1743	0.1763
6	0.1398	0.1408	0.1408	0.1408
7	—	0.1150	0.1166	0.1308
8	0.1142	0.1139	0.1140	0.1143
9	0.0925	0.0926	0.0925	0.0926
10	0.0737	0.0737	0.0737	0.0737

表-1 固有振動周期 T<sub>n</sub> (Sec) の比較

塔基礎工のロッキングに起因するものであると考えられる。図-2は、図-1(b)から主塔基礎のみを取り出した振動系を示したものである。この2自由度系の固有振動数はつきのようになる。

$$\omega_x^2 = \frac{1}{2} (\omega_x^2 + \omega_\phi^2) \mp \sqrt{\frac{1}{4} (\omega_x^2 - \omega_\phi^2)^2 + k^2}$$

ここに、 $\omega_x$ および $\omega_\phi$ は並進および回転運動の連成作用がない場合のそれぞれの円振動数である。また表は連成の度合いを表わし、 $k=0$ ならば主塔基礎工は並進なりしは回転運動をそれぞれ単独に行なう。図-3は $\omega_1$ および $\omega_2$ が、 $\omega_x$ および $\omega_\phi$ ならばに $\omega_1$ （したがつてまた基礎地盤の弾性常数）によってどのように変化するかを図示したものである。式(1)によつて、主塔基礎工のみを取り出したときの固有振動周期を計算すると表-3のようになる。これらの数値は、表-1 図-2 主塔基礎工の振動モデルに示すところの、各地盤係数の組に対する第2次および第7次振動周期に近い。

### 3. 実在地震動による応答

図-1, その場合の計算結果の一例として、図-4および図-5に、El Centro 40(N-S)に対するたわみおよび曲げモーメントの最大値、 $Z_{max}$ および $M_{max}$ 、ならびに応答スペクトル線図から二乗和平方根法によって求めた( $Z$ )および( $M$ )を示す。減衰常数は $\zeta = 5\%$ とした。これらの図および他の計算結果から、固有振動数および振動型が接近する場合には応答 $R_{max}$ と( $R$ )との差異が大きくなることがわかる ( $R = Z$  なりし  $M$ )。

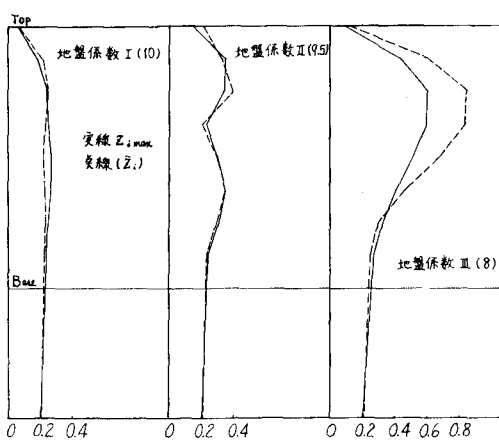


図-4 たわみ

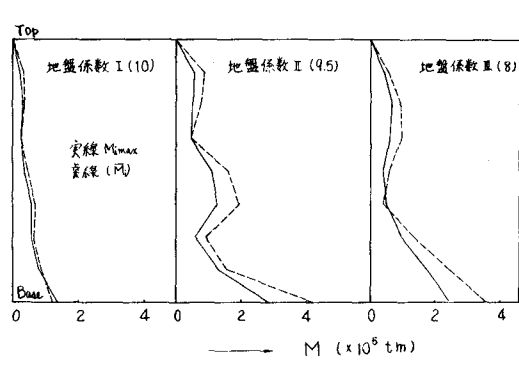


図-5 曲げモーメント

組	回転ばね定数 $k_r$ (t/m)	水平ばね定数 $k_x$ (t/m)	備考 (kg/cm³)
I	$136.668 \times 10^6$	$87.00 \times 10^6$	$K_v = 30; K_H = K_Hv = 10$
II	$250.594 \times 10^6$	$82.65 \times 10^6$	$K_v = 55; K_H = K_Hv = 45$
III	$36.450 \times 10^6$	$69.60 \times 10^6$	$K_v = 8; K_H = K_Hv = 8$

表-2 基礎地盤のはね定数

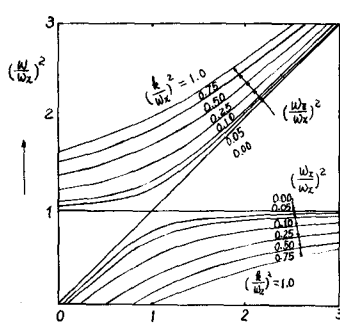
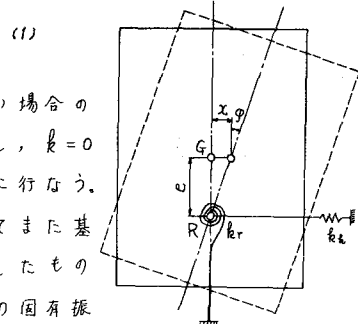


図-3 連成振動数と非連成振動数および連成度との関係

ばね定数の組	$T_z$	$T_x$
I	0.6287	0.1136
II	0.4732	0.1129
III	1.201	0.1309

表-3 主塔基礎工の固有振動周期